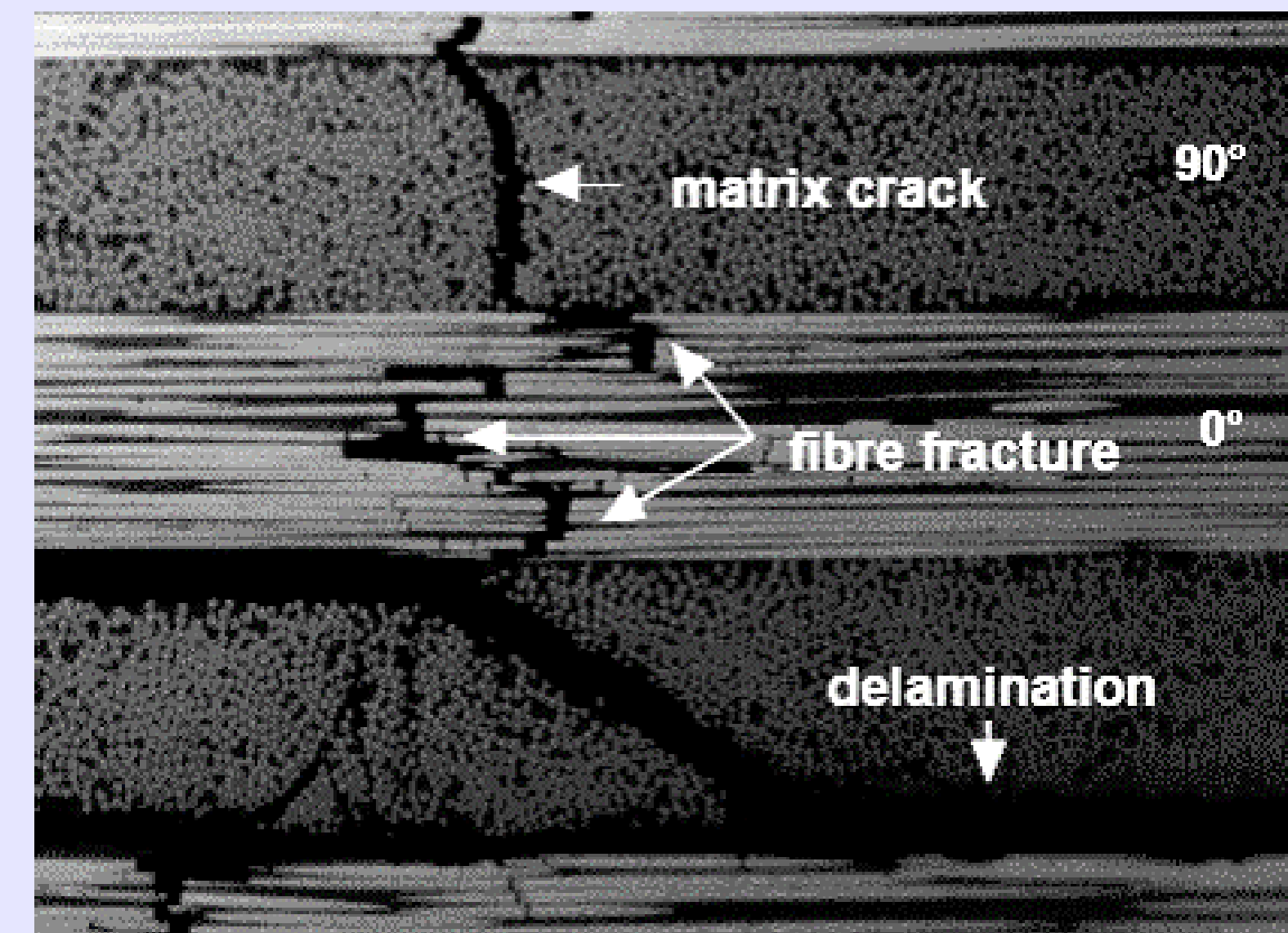
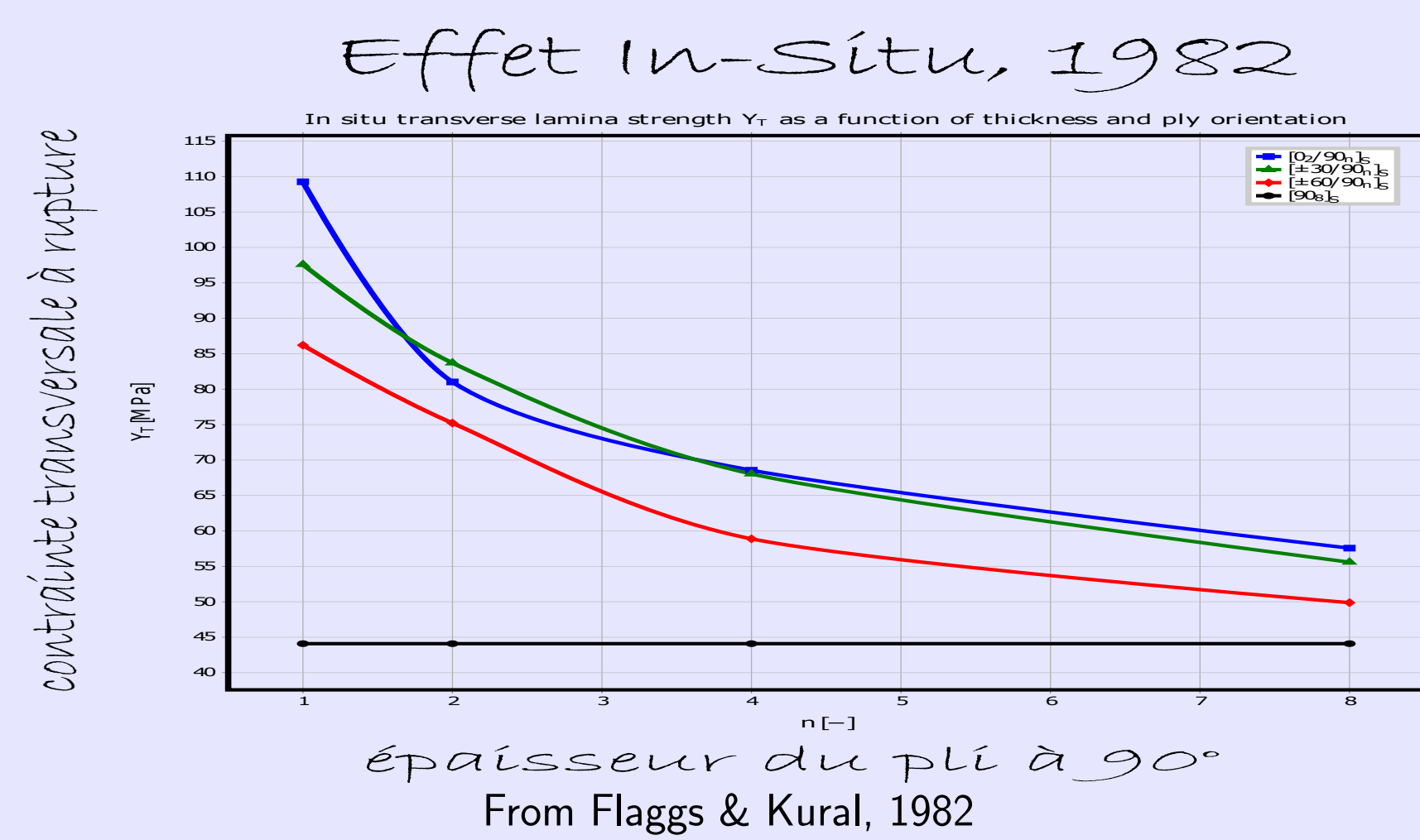
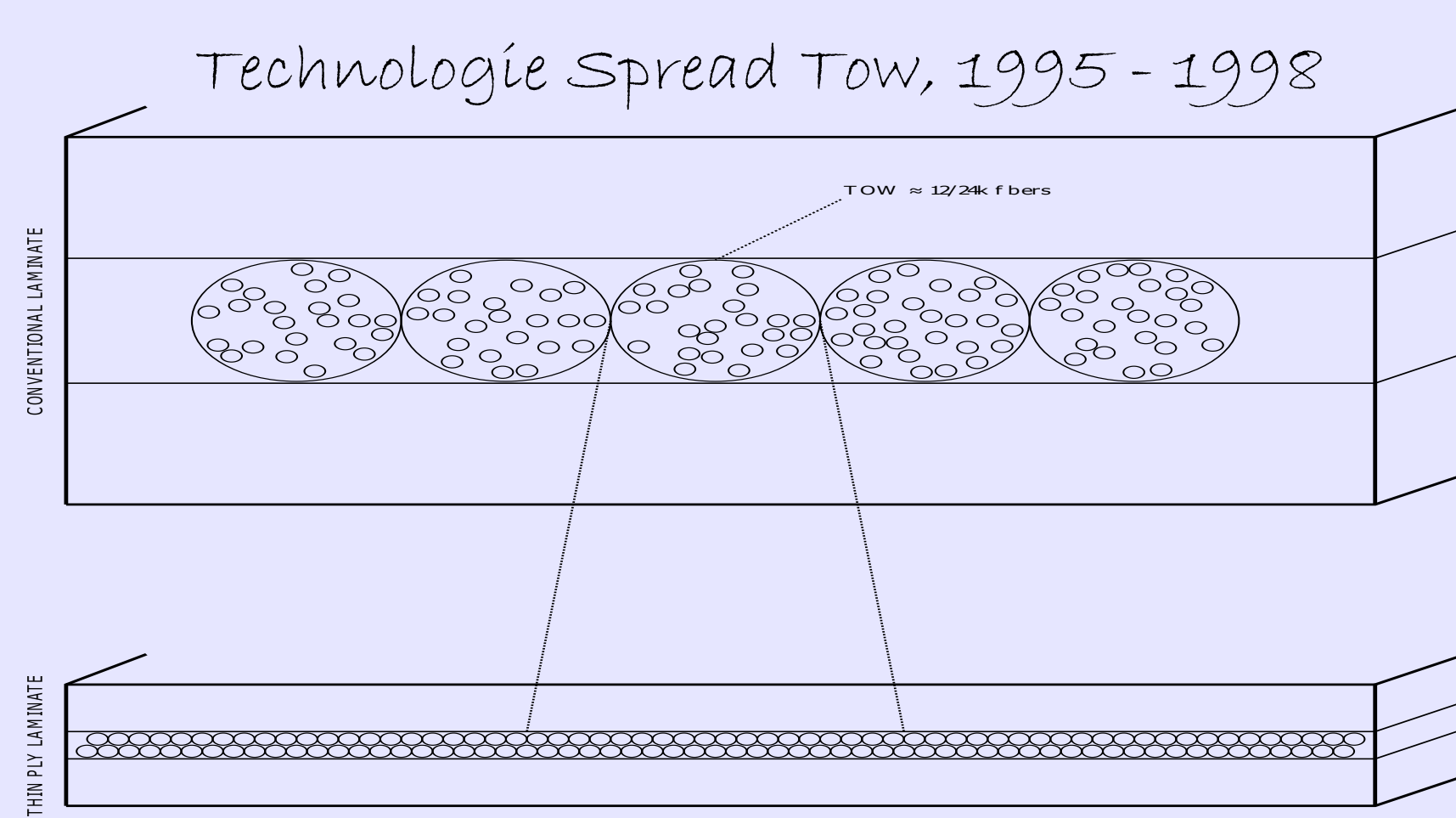
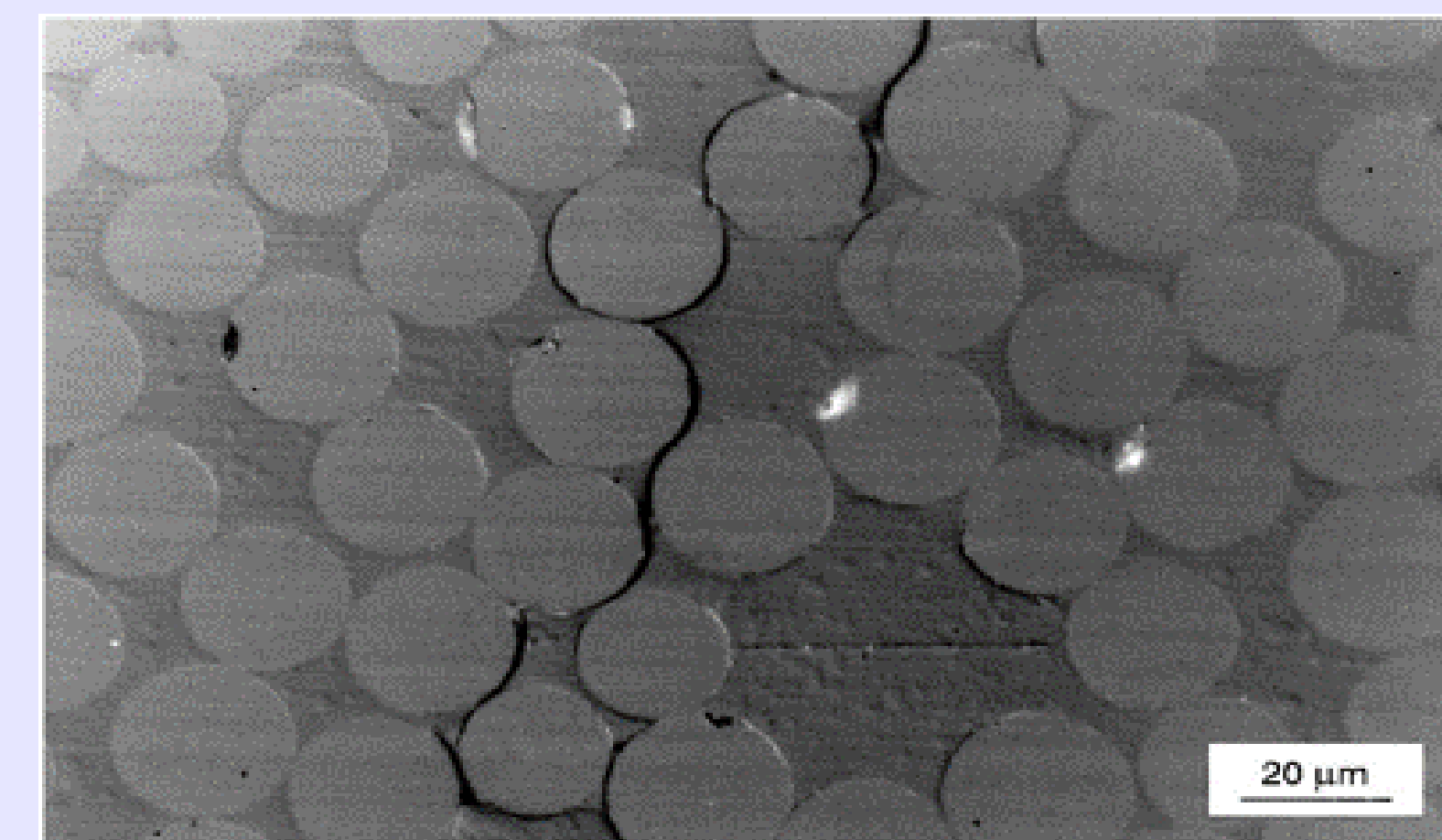


# Modèles micromécaniques du dommage intra-laminaire dans les stratifiés avec couches fines

## L'industrie aérospatiale face aux défis du futur : perspectives et enjeux



(c) By Dr. R. Olsson, Swerea, SE.



(d) By Prof. Dr. E. K. Gamstedt, KTH, SE.

## Objectifs & Approche

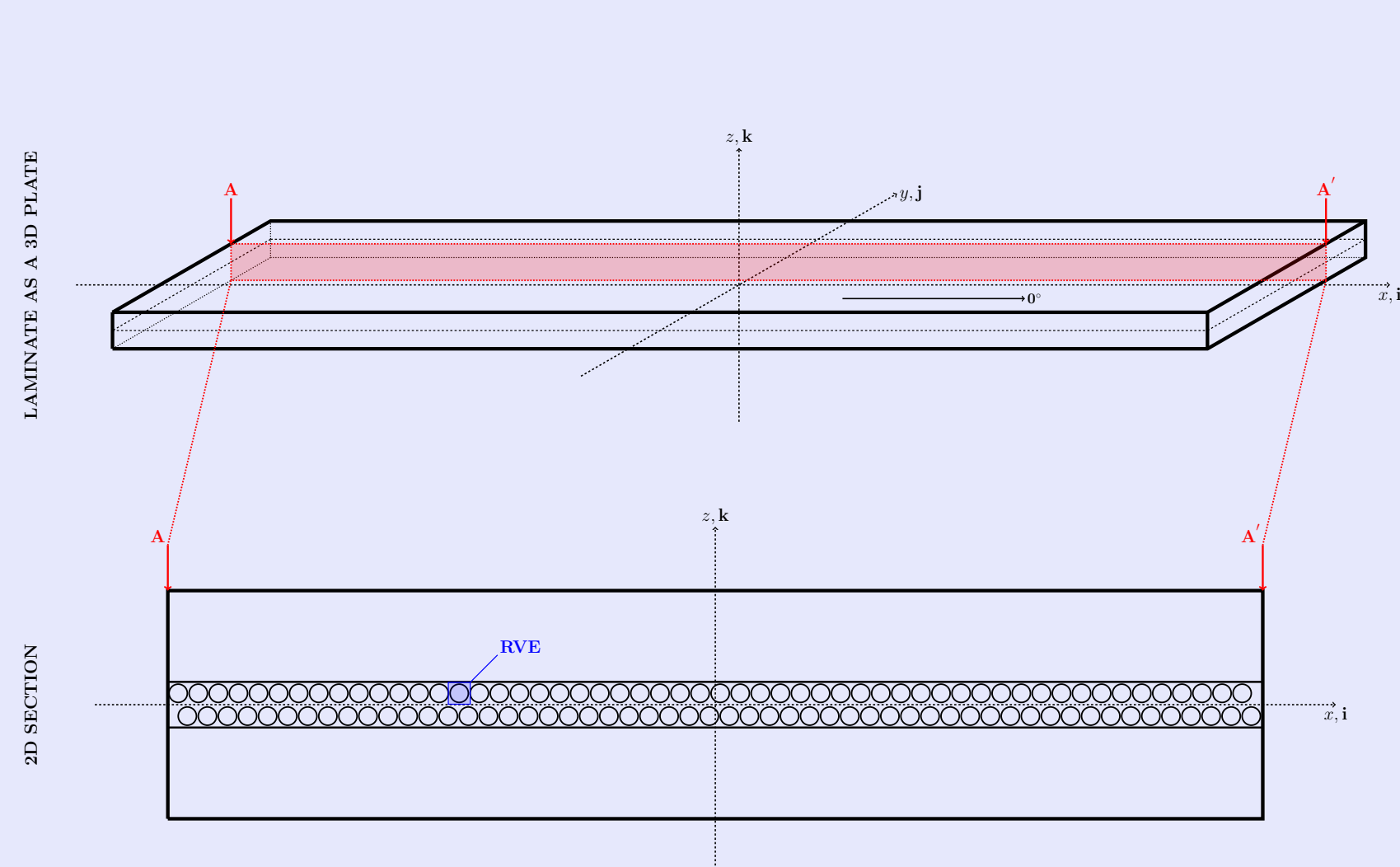
Que-est qu'on veut atteindre ?

$$G_{*c} = G_{*c} \left( \theta_{debond}, \Delta\theta_{debond}, E(\cdot), \nu(\cdot), G(), VF_f, t_{ply}, \frac{t_{ply}}{t_{bounding \ plies}} \right)$$

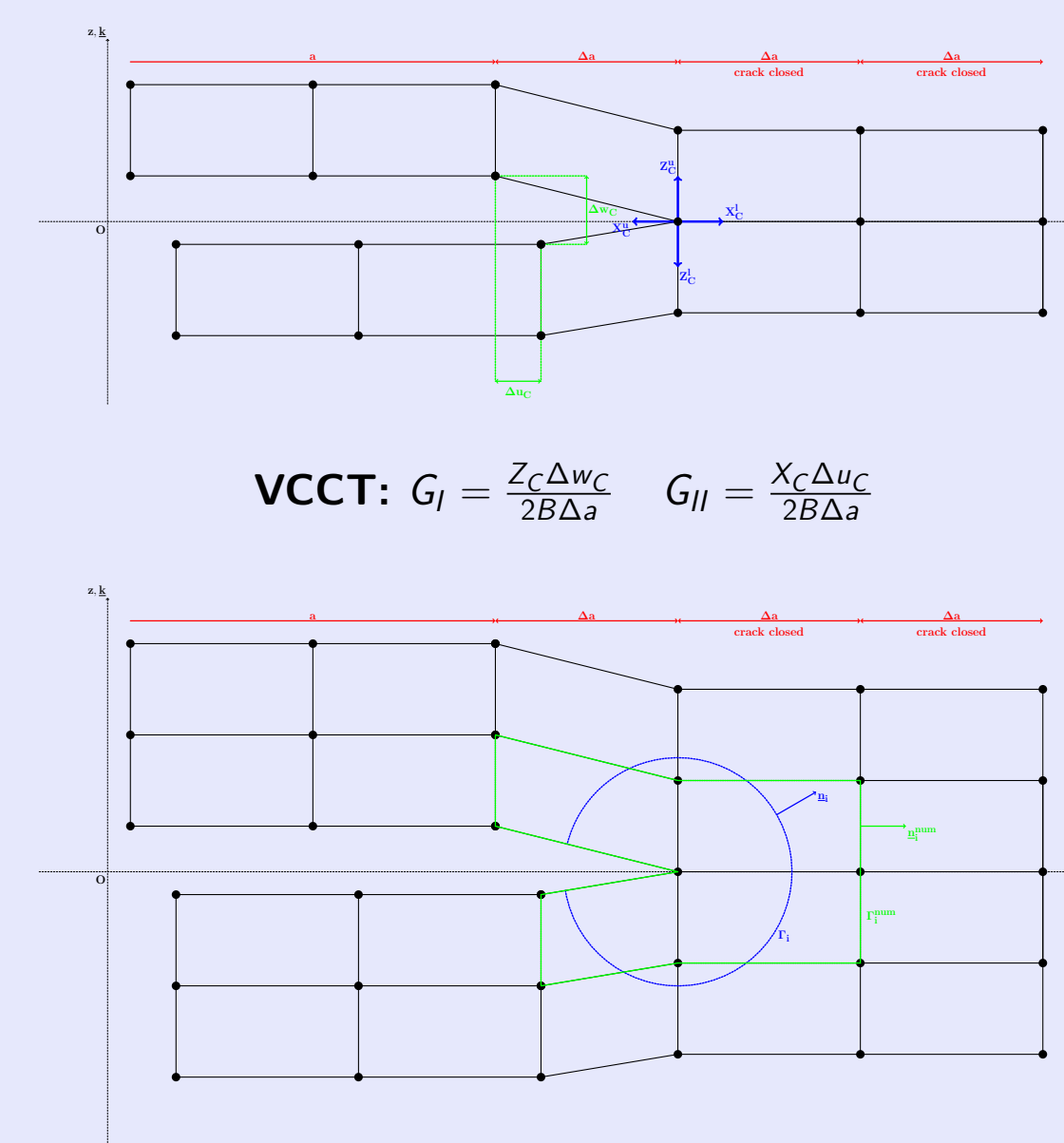
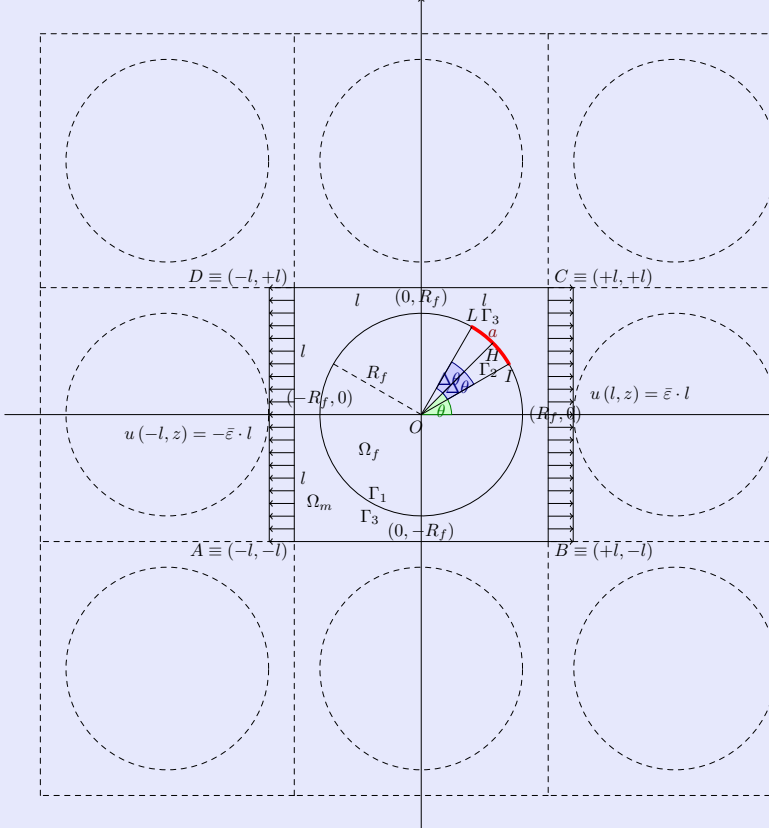
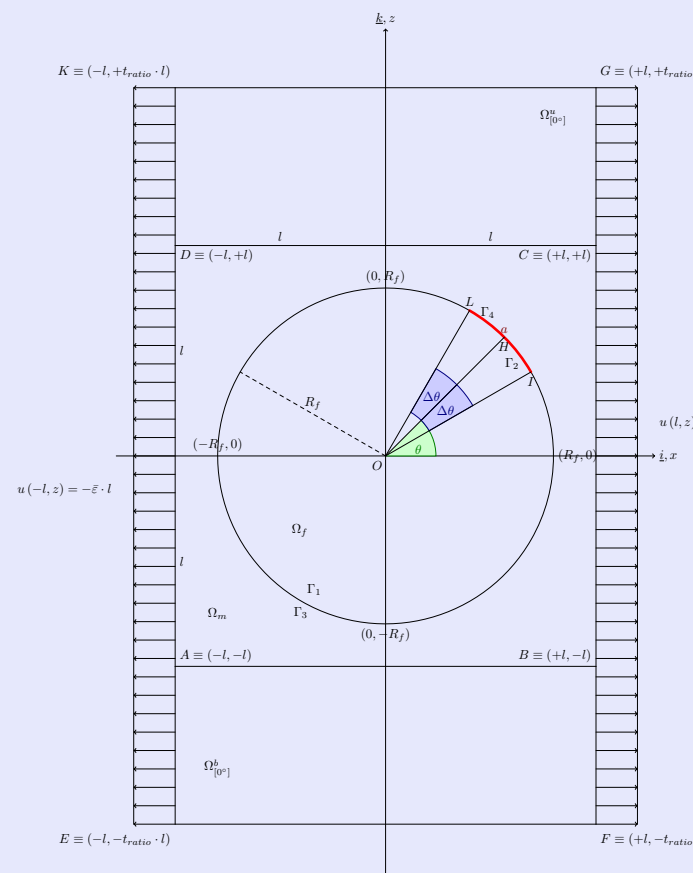
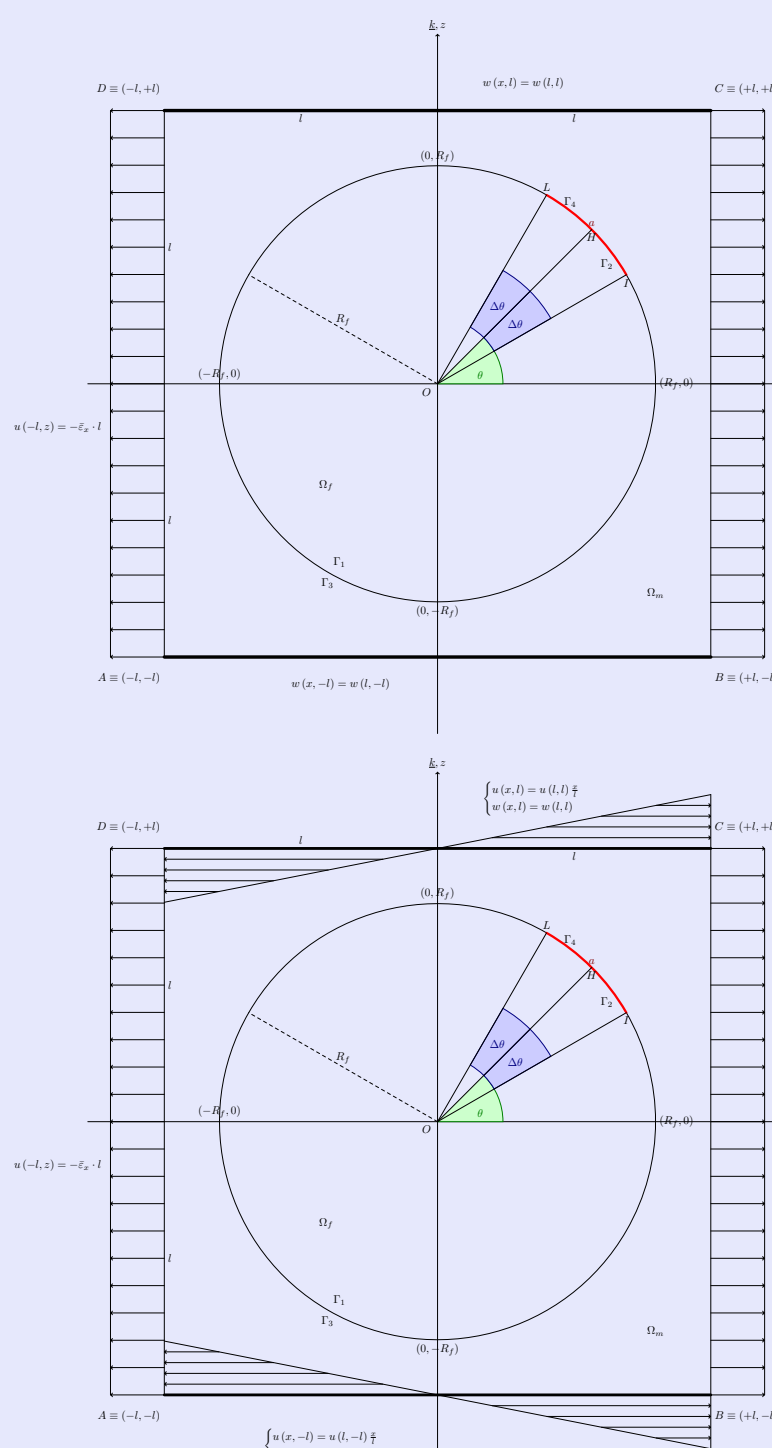
Comment on veut l'atteindre ?

Méthode des éléments finis (MEF)

## Conception des modèles de Volumes Élémentaire Représentatif (VER) à l'échelle microscopique

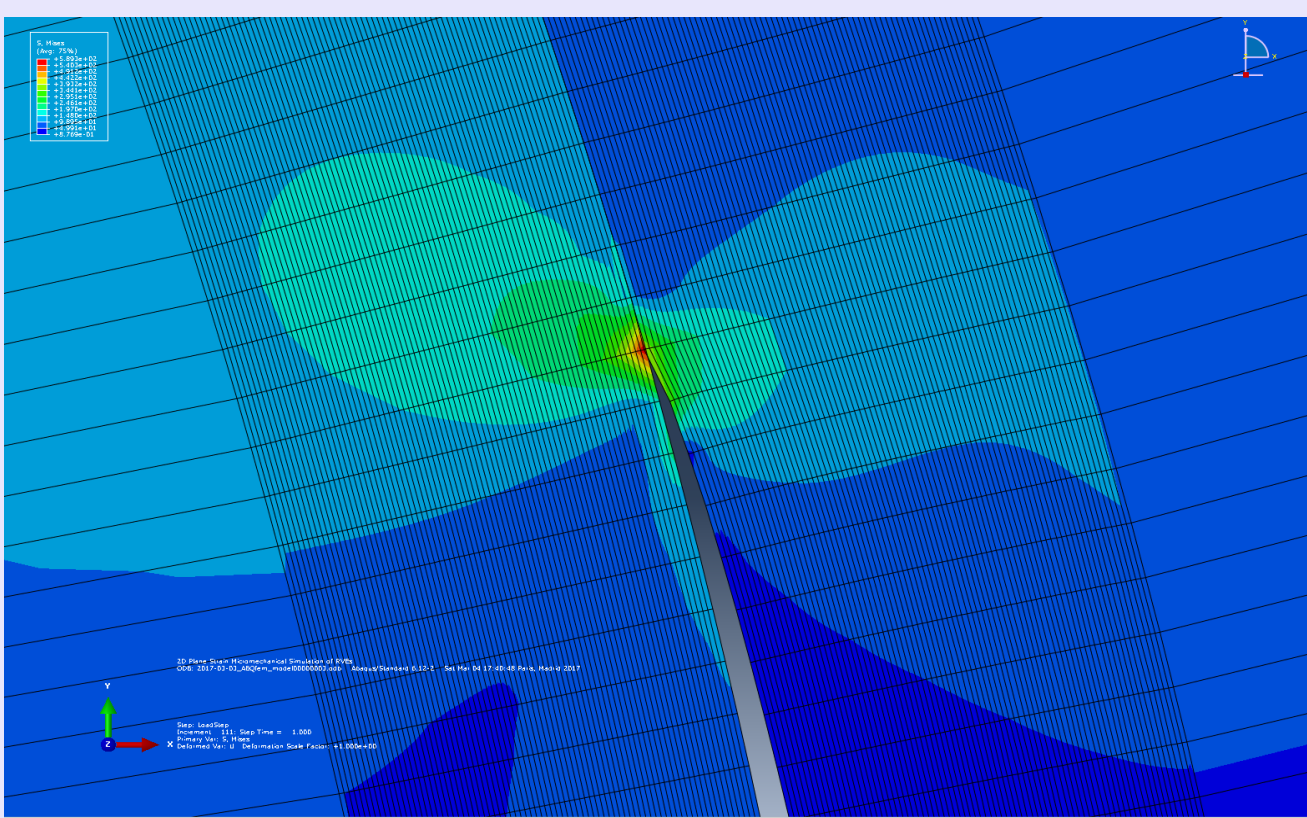


- ✓ Espace 2D
- ✓ Solide élastique linéaire
- ✓ Piloté en déplacement
- ✓ Conditions aux limites de Dirichlet
- ✓ Mécanique linéaire élastique de la rupture
- ✓ Interactions de contact

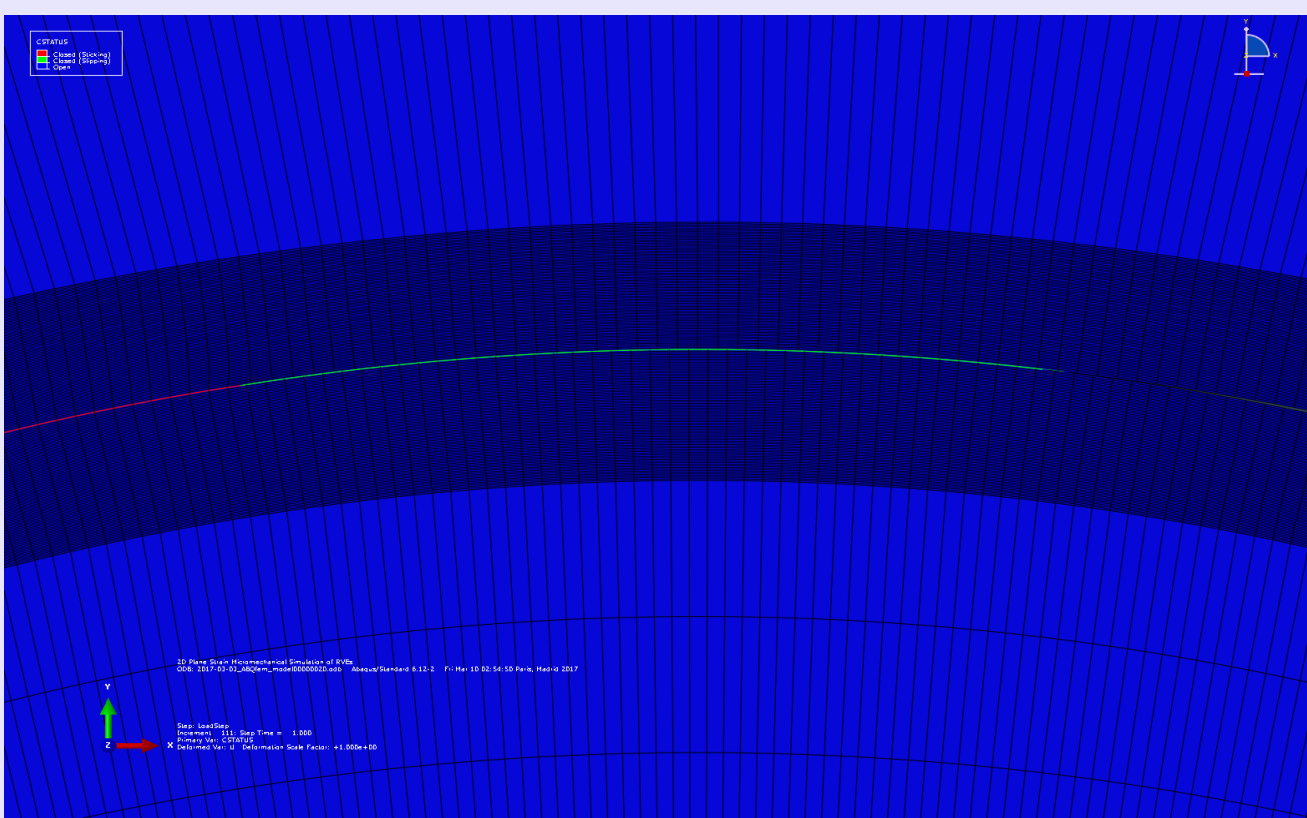


$$J\text{-Integral: } J_I = \lim_{\varepsilon \rightarrow 0} \int_{\Gamma_\varepsilon} \left( W(\Gamma) n_i - n_j \sigma_{jk} \frac{\partial u_k(\Gamma, x)}{\partial x_j} \right) d\Gamma$$

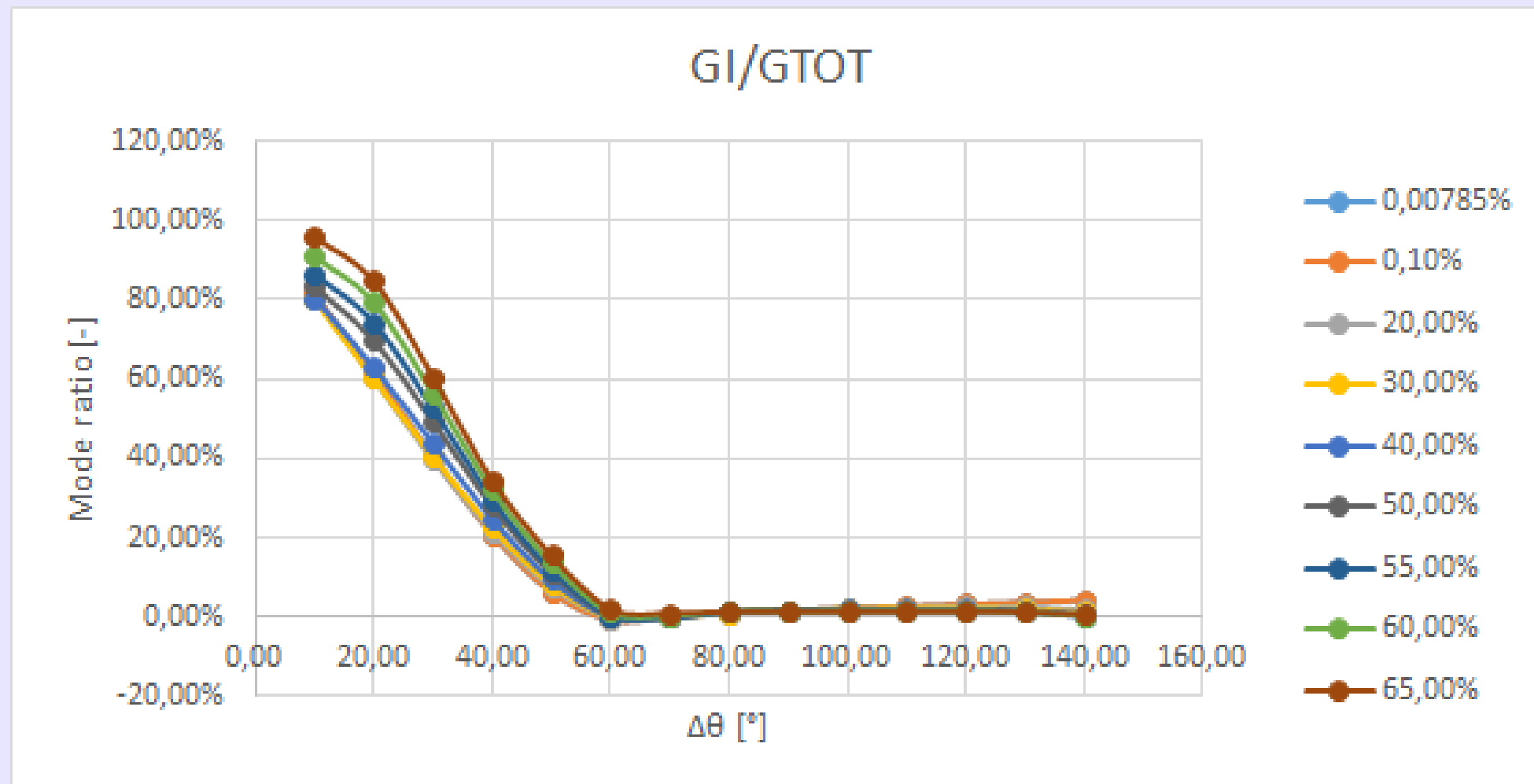
## Résultats & Perspectives



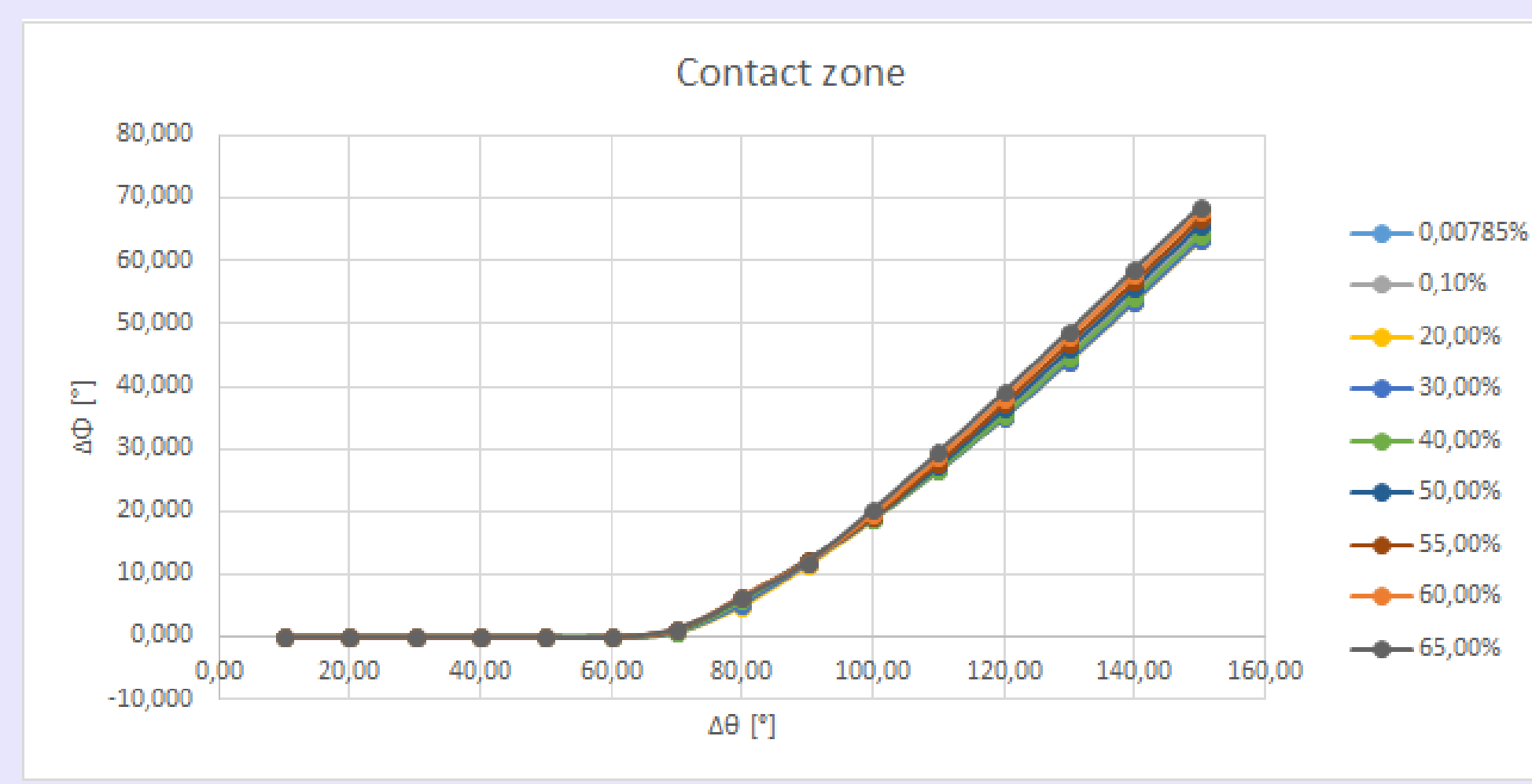
$$\Delta\theta = 15^\circ, \delta = 0.4^\circ, VF_f = 0.001, \frac{1}{R_f} \approx 28$$



$$\Delta\theta = 100^\circ, \delta = 0.4^\circ, VF_f = 0.001, \frac{1}{R_f} \approx 28$$



Mode ratio evolution in the free model.



Contact zone size evolution in the free model.

## Remerciements

Le soutien financier de la Commission européenne dans le cadre du programme Erasmus Mundus a permis la réalisation de ce travail.

## Références

- [1] UN General Assembly, Transforming our world: the 2030 Agenda for Sustainable Development, 21 October 2015, A/RES/70/1, available at: <http://www.refworld.org/docid/57b6e3e4.html> [accessed 3 April 2018]
- [2] Kawabe K., Tomoda S. and Matsuo T. 1997 A pneumatic process for spreading reinforcing fiber tow Proc. 42nd Int. SAMPE USA (Anaheim, CA, USA) 65-76
- [3] Flagg D. L. and Kural M. H. 1982 Experimental Determination of the In Situ Transverse Lamina Strength in Graphite/Epoxy Laminates J. Compos. Mater. 16 (2) 103-116
- [4] Toya M. 1974 A crack along the interface of a circular inclusion embedded in an infinite solid. J. Mech. Phys. Solids 22 (5) 325-348
- [5] Paris F., Cano J., and Varna J. 1990 The fiber-matrix interface crack - a numerical analysis using boundary elements Int. J. Fract. 82 (1) 11-29
- [6] Krueger R. 2004 Virtual crack closure technique: History, approach, and applications Appl. Mech. Rev. 57 (2) 109-143
- [7] Rice J. R. 1968 A Path Independent Integral and the Approximate Analysis of Strain Concentration by Notches and Cracks J. Appl. Mech. 35 379-386